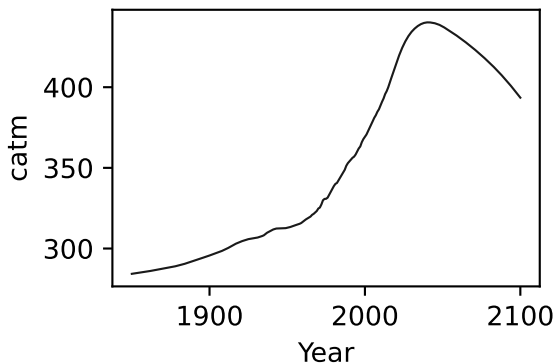
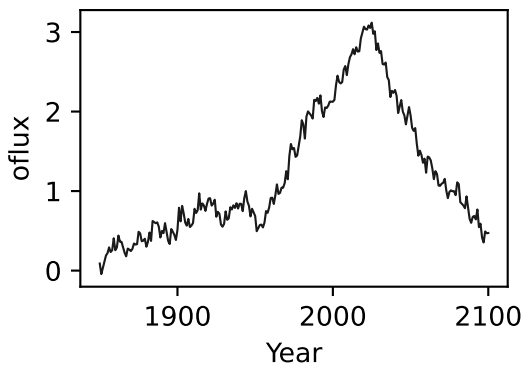
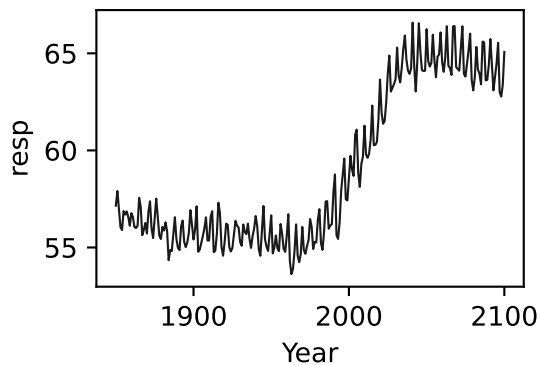
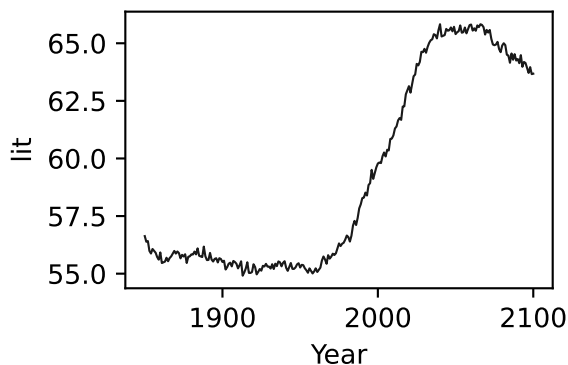
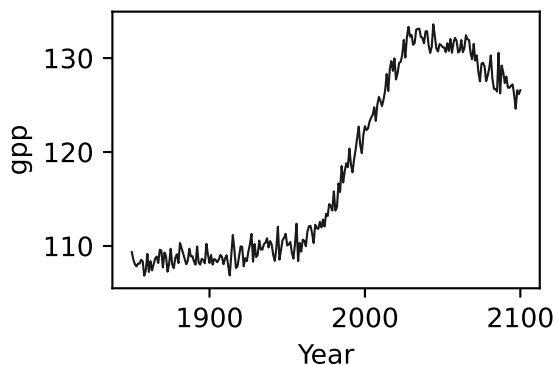
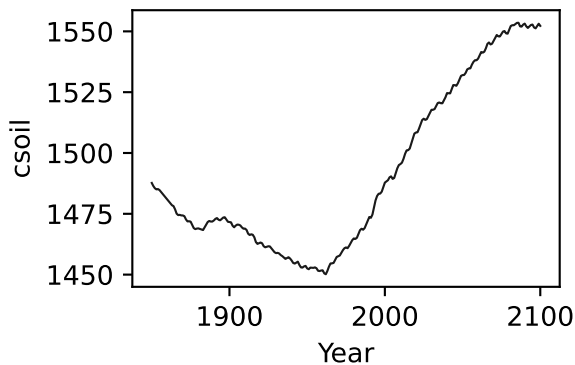
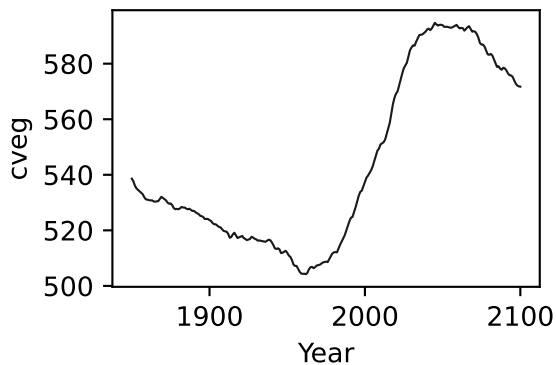
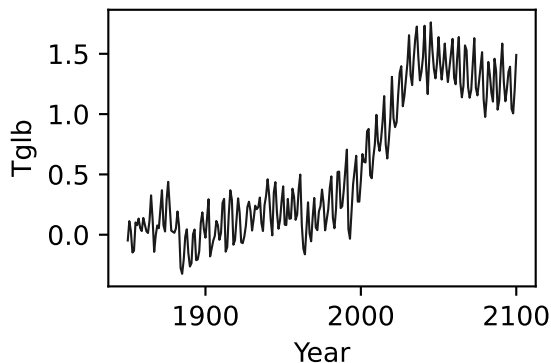
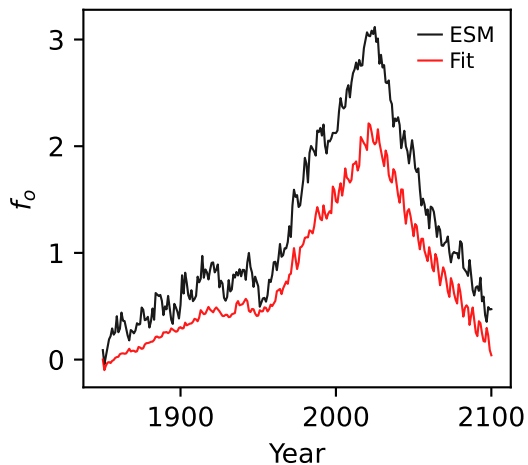
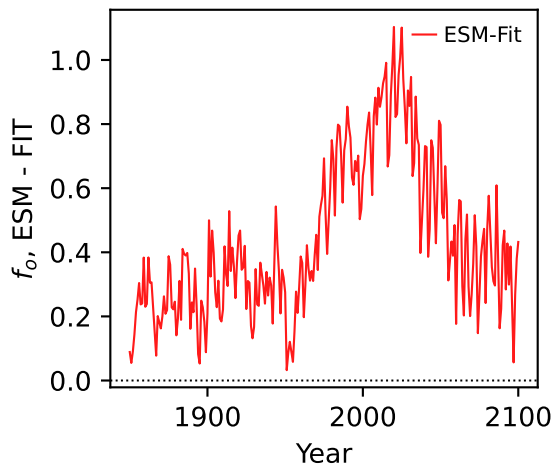
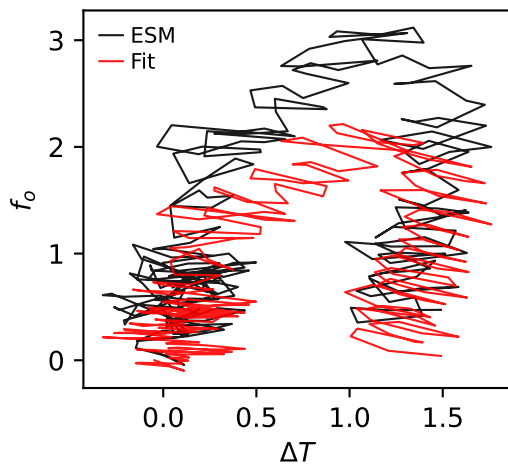
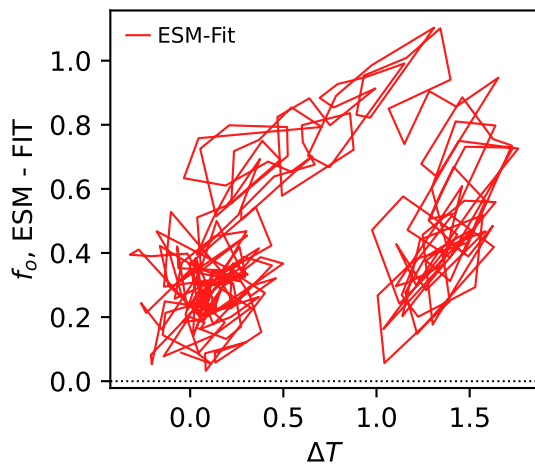
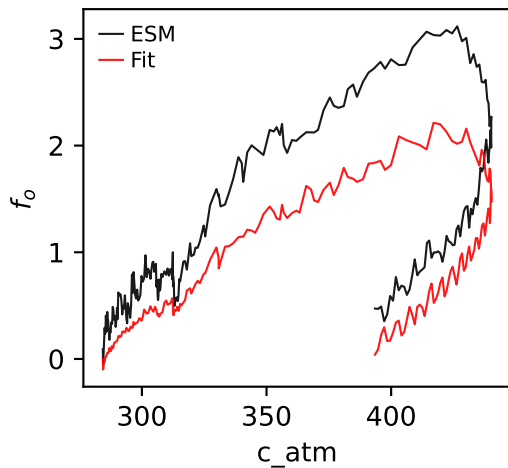
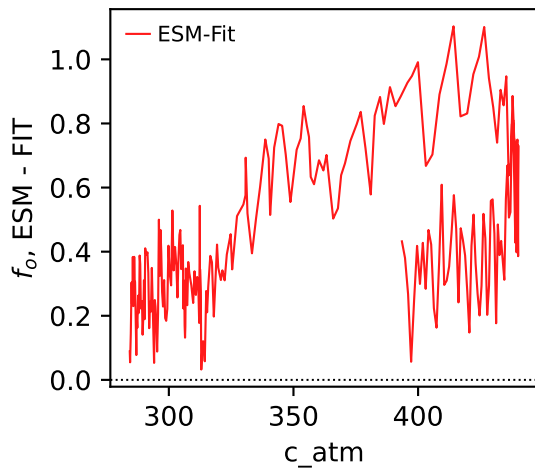
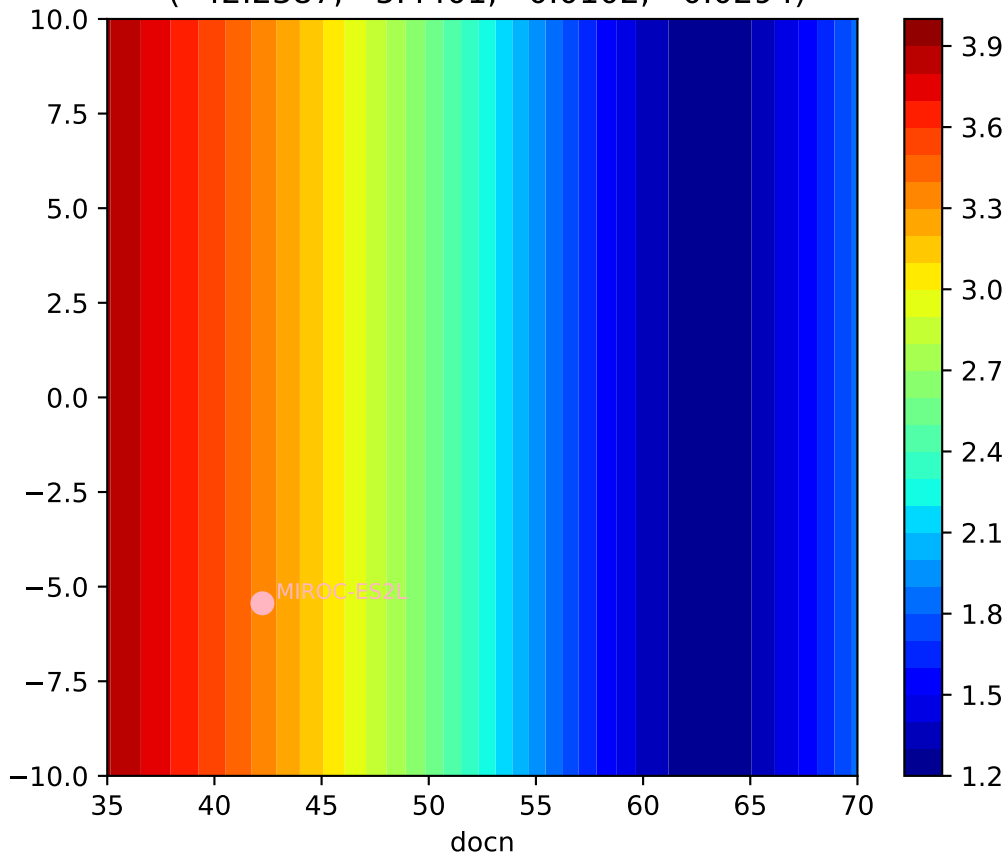


MIROC-ES2L, ssp119, f_o MIROC-ES2L, ssp119, f_o 

MIROC-ES2L, ssp119, f_o MIROC-ES2L, ssp119, f_o MIROC-ES2L, ssp119, f_o MIROC-ES2L, ssp119, f_o MIROC-ES2L, ssp119, f_o MIROC-ES2L, ssp119, f_o 

MIROC-ES2L, ssp119, f_o , $\ln(\text{MSE}/\text{SIGMA})$
(42.2387, -5.4401, 0.0102, -0.0294)



MIROC-ES2L, ssp119, f_o , $\ln(\text{MSE}/\text{SIGMA})$
(42.2387, -5.4401, 0.0102, -0.0294)

